

Mechanistische und kinetische Untersuchungen von OH / NO₂ / NO₃ Radikalen mit aromatischen Verbindungen in wässriger Phase

P. Barzaghi and H. Herrmann
Permoserstraße 15, 04318 Leipzig
www.tropos.de

Motivation

Die troposphärische Oxidation von aromatischen Kohlenwasserstoffen (Benzol, Toluol und Xylol-Isomere) führt sowohl zur Bildung von Phenolen oder Kresolen als auch zu Ring-Fragmentierungs-Produkten. Phenole können sowohl in der Gas- als auch in der Flüssigphase durch OH/NO₂ oder NO₃/NO₂ in Nitrophenole umgewandelt werden. Nitrophenole wurden in troposphärischen wässrigen Phasen wie z.B. Wolkenwasser und Nebel gefunden. Besonders hohe Konzentrationen finden sich in Regenwasser. In Modellierungsstudien (CAPRAM 2.3 und ARO) wurde die Bildung und direkte Emission von Nitrophenolen und Kresolen verglichen. Es wurde gezeigt, dass beträchtliche Mengen dieser Verbindungen durch troposphärische Prozesse gebildet werden. Nitrophenole sind potentiell gesundheitsschädlich. Literaturdaten und eigene Untersuchungen lassen vermuten, dass manche Verbindungen, wie z.B. 4-Nitrophenol, überwiegend in Flüssigphasenprozessen gebildet werden. Andere, wie z.B. 2-Nitrophenol, entstehen vor allem in der Gasphase (Atkinson et al., 1992). Die troposphärische Bildung von Nitrophenolen ist deshalb ein gutes Beispiel für mögliche Einflüsse von sequentiellen Multiphasenprozessen, die nicht nur Gasphasenprozesse, sondern auch Phasentransfer und Flüssigphasenumwandlungen beinhalten.

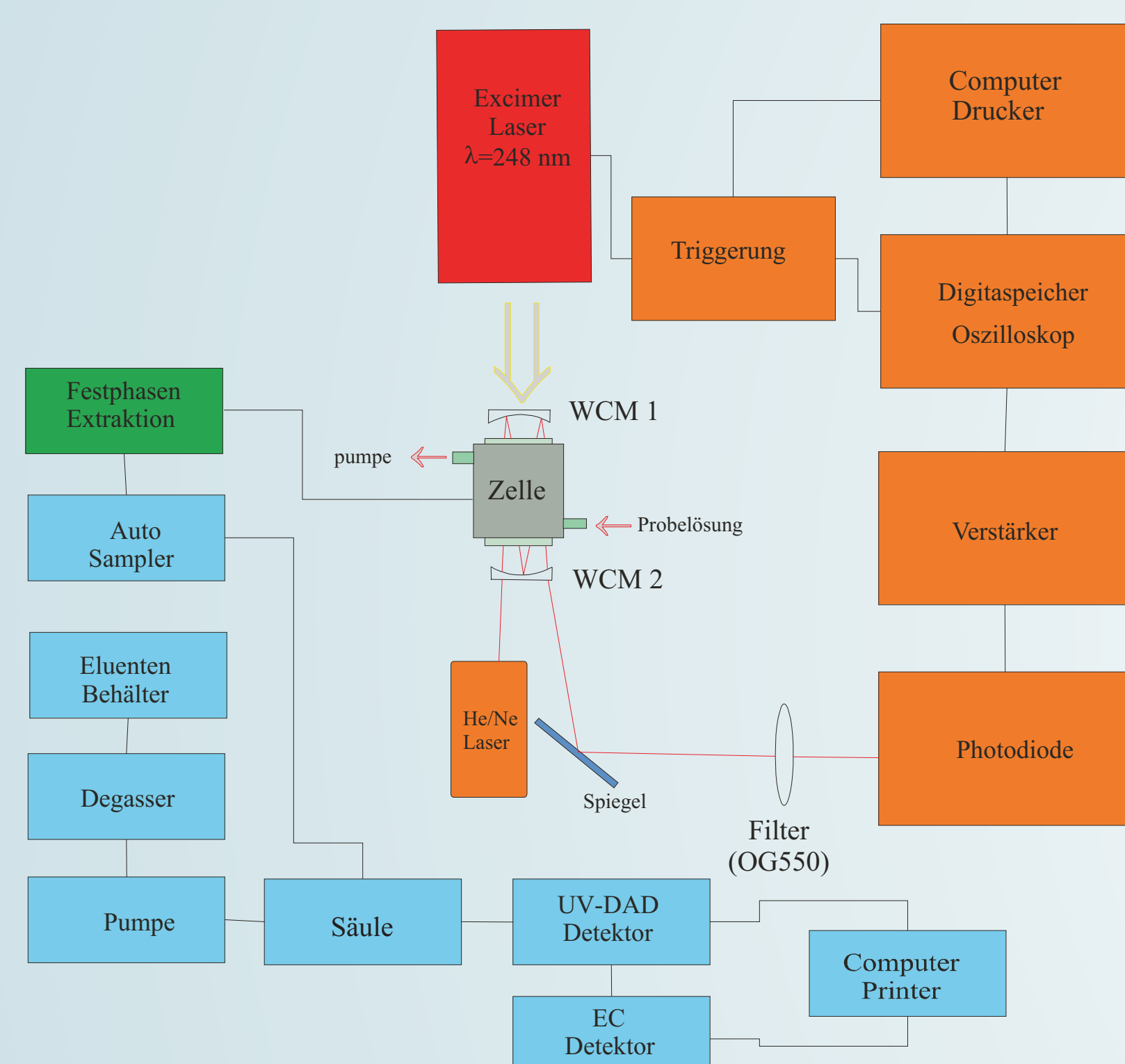


Abb. 1: Experimenteller Aufbau (LP-LPLA / HPLC-DAD-EC)

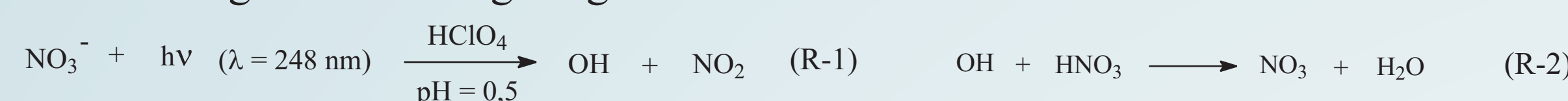
Experimenteller Aufbau

Das Laserphotolyseexperiment (Abb. 1) besteht aus einem Multigasexcimerlaser (Modell Compex 201, Lambda-Physik) der bei einer Pulsdauer von 10-40 nsek bei $\lambda = 248$ nm ($W = 750$ mJ) oder bei $\lambda = 351$ nm ($W = 450$ mJ) betrieben wird. Der optische Nachweis des NO₃-Radikals erfolgt mit einem HeNe Laser (Spindler und Hoyer) bei $\lambda = 632,8$ nm. Das Laserlicht wird 32 mal durch die thermostatierte Messzelle ($V = 118$ ml) gespiegelt. Das elektrische Ausgangssignal der Photodiode wird verstärkt und zu einem digitalen Speicheroszilloskop (Model Delta Classic, Fa. Gould) gegeben. Die weitere Signalauswertung erfolgt auf einem Computer, der mit dem Speicheroszilloskop verbunden ist. Die zeitliche Steuerung des gesamten Experiments erfolgt mit einem Delay-Pulsgenerator (Model DG535, Fa. SRS). Weitere Details zu diesem experimentellen Aufbau sind bei Herrmann et al. (1995) gegeben. Nach der Bestrahlung werden 12-20 ml der Probelösung bei einem Fluss von 1 ml pro Min. mittels einer Likrolut ENV-Kartusche extrahiert. Für diese Kartuschen wurden die Durchbruchsvolumina mit Hilfe von Standardlösungen bestimmt. Unter den beschriebenen experimentellen Bedingungen erfolgte kein Durchbruch und die Produkte können quantitativ bestimmt werden. Die Trennung der Produkte (Nitrophenole und Brenzkatechin) erfolgt mittels einer HPLC-DAD-EC-Apparatur wie in Abb. 1 dargestellt. Als stationäre Phase dient Kromasil in einer Edelstahlsäule RP-18 5 µm (250 x 4 mm iD). Die Analyse wurde durchgeführt mit einer isocrativen Eluierung mit einer mobilen Phase aus 80 % KH₂PO₄ 30 mM (pH = 4 mit H₃PO₄ eingestellt) und 20 % CH₃CN mit einer Flussrate von 0,6 ml/min. Die Analyten wurden durch direktem Vergleich der Retentionszeit und Absorptionsspektren identifiziert. Die Quantifizierung der Analyten erfolgte nach Erstellung von Kalibrationskurven bei verschiedenen Wellenlängen, wo die Analyten relative Absorptionsmaxima zeigten. Der elektrochemische Detektor wurde mit einem fest eingestellten Gleichstellungspotential an der Arbeitselektrode der Durchflusszelle betrieben. Der Strom als Folge der Oxidation der Analyten als Funktion der Evaluationszeit wurde gemessen.

Ergebnisse und Diskussion

Excimer-Laserphotolyse von Nitrat bei 248 nm und von Peroxodisulfat bei 351 nm wurde verwendet, um den Oxidationsprozess von Phenol durch OH / NO₂ und NO₃ / NO₂ in wässriger Lösung bei verschiedenen experimentellen Bedingungen zu untersuchen. Die Produktausbeuten wurden für verschiedene pH-Werte und in Abhängigkeit von den Anzahl der Laserblitze bestimmt.

Die Radikale OH/NO₂ aus Reaktionen (R-1) oder NO₃ aus Reaktionen (R-2) können mit Phenol reagieren und führen zur Bildung der in Abb. 2 gezeigten Produkte.



Tab. 1: Maximale Radikal-Anfangskonzentration und die identifizierten Reaktionsprodukte der Laserphotolyse-Experiments in Abhängigkeit von den Anzahl der Photolysepulse.

Anzahl der Laserblitze	[OH] _{max} /nM = [NO ₂] _{max} /nM *	[NO ₃] _{max} /nM **	Prod. Conc./nM ***	o/p Ratio
1 pulse	Total	1 pulse	Total	
20	41	820	18 360	2: 89 (94) ± 12; 3: 520 ± 48; 0.17
15	53	795	19 285	2: 100 (105) ± 14; 3: 490 ± 7; 0.21
10	59	590	18 180	2: 110 (114) ± 22; 3: 500 ± 37; 0.21
4	52	208	12 48	2: 97 (99) ± 2; 3: 90 ± 2; 1.1
1	160	160	47 47	2: 67 ± 8; 3: 59 ± 9; 4: 10 ± 10; 1.1

*: Berechnet mit Hilfe der Ausbeute an OH;

**: Direkte zeitaufgelöste NO₃ Absorptionsmessungen ($\epsilon_{\text{NO}_3, 635 \text{ nm}} = 1240 \pm 40 \text{ l mol}^{-1} \text{ cm}^{-1}$) Sehested et al., 1994

Phenol und die substituierten Phenole sind gegenüber den verschiedenen nitrierenden Reagentien sehr reaktiv. Daher wurde untersucht, ob eine Nitrierung auch in Abwesenheit des Photolyselichts eintreten kann. Auf der Zeitskala der hier beschriebenen Experimente konnte dabei keine nennenswerte Nitrophenolbildung beobachtet werden.

Tab. 2: Maximale Radikal-Anfangskonzentrationen und identifizierte Reaktionsprodukte der Laserphotolyse-Experiments.

Photolyse Wellenlänge /nm	Systeme	pH	O ₂	[OH] _{max} / [NO ₂] _{max} / nM (1)	[NO ₃] ₀ / nM (2)	Produkte	Summe der Produkte / nM	o/p Verhältnis
248	NaNO ₃	0,5	yes	160	47 ± 6	2: 67 ± 8; 3: 59 ± 8; 4: 10 ± 10;	136 ± 9	1,1 ± 0,1
248	NaNO ₃	0,5	no	160	66 ± 12	2: 71 ± 13; 3: 57 ± 10; 4: 10 ± 8;	138 ± 11	1,25 ± 0,02
248	NaNO ₃	3,0	yes	160	trace	2: 29 ± 13; 3: 20 ± 13; 4: trace;	59 ± 13	1,6 ± 0,3
248	NaNO ₃ / tert-butanol	3,2	yes	only NO ₂	-	-	-	-
351	S ₂ O ₈ ²⁻ / NaNO ₃	3,8	yes	20	124 ± 15	2: trace; 3: trace; 4: N.D.;	-	-

(1) Berechnet mit Hilfe der Ausbeute an OH.

(2) Direkte zeitaufgelöste NO₃ Absorptionsmessungen ($\epsilon_{\text{NO}_3, 635 \text{ nm}} = 1240 \pm 40 \text{ l mol}^{-1} \text{ cm}^{-1}$; Sehested et al., 1994).

Auf Grund des Einzelschussexperiments (Tab. 2) kann geschlossen werden, dass NO₃ an der Nitrophenolbildung beteiligt sein muss, da diese Ausbeute sich bei erhöhtem pH-Wert, also wenn kein NO₃ mehr gebildet wird, um mehr als die Hälfte vermindert. Die primäre Reaktion des NO₃-Radikals mit Phenol kann über Addition/Elimination (R-3, 3a), durch H-Abstraktion des phenolischen H-Atom (R-4) oder schließlich durch konzertierte Enelektronentransfer (R-5) erfolgen (Abb. 2a). Die Bildung des Nitrophenols erfolgt durch Addition eines NO₂-Moleküls und Bildung des Ketointermediates das in einer schnellen intramolekularen H-Atomverschiebung die Nitrophenolprodukte (2 und 3) bildet.

Es wird beobachtet, dass der Oxidationsprozess im untersuchten System stark pH-abhängig ist: Unter sehr sauren Bedingungen (pH = 0,5) ist das Phenoxyradikal das Schlüsselintermediat, unabhängig von den drei genannten Bildungswegen. In Einzelpuls-Nitratphotolyseexperimenten unter sauren Bedingungen (pH = 0,5) wurde ein o/p Verhältnis von 1,1 / 1 und eine Ausbeute von 79% (Konzentration o- + p-Nitrophenol/Anfangskonzentration OH und NO₂) für Nitrophenole gefunden. Ausgehend von einer Anfangskonzentration von [OH] = [NO₂] = 160 nM entsprechen einer max. Konzentration von 70 nM NO₃, wurden 70 nM o-Nitrophenol, 60 nM p-Nitrophenol und 10 nM Brenzkatechin erhalten (Abb. 2b).

Schließlich wurde die Kinetik einiger Reaktionen von o-substituierten Phenolen (Tab. 3) mit dem NO₃-Radikal in wässriger Lösung als Funktion der Temperatur untersucht und Aktivierungsparameter ermittelt.

Tab. 3: Geschwindigkeitskonstanten für 298 K und Aktivierungsparameter für Reaktionen von NO₃(aq) mit o-substituierten Phenolen

Verbindung	$k_{298\text{K}} / 1 \text{ mol}^{-1} \text{ s}^{-1}$	A / 1 mol ⁻¹ s ⁻¹	E _A / kJ mol ⁻¹	$\Delta G^\ddagger / \text{kJ mol}^{-1}$	$\Delta H^\ddagger / \text{kJ mol}^{-1}$	$\Delta S^\ddagger / \text{J mol}^{-1} \text{ K}^{-1}$
<chem>Oc1ccccc1C</chem>	$(8,5 \pm 0,1) \cdot 10^8$	$(1,0 \pm 0,2) \cdot 10^{13}$	22 ± 7	22 ± 8	19 ± 7	-11 ± 3
<chem>Oc1ccccc1CC</chem>	$(6,7 \pm 0,4) \cdot 10^8$	$(2,2 \pm 0,3) \cdot 10^{12}$	18 ± 2	23 ± 4	16 ± 3	-24 ± 6
<chem>Oc1ccc(O)c(O)c1</chem>	$(5,6 \pm 0,8) \cdot 10^8$	$(8,5 \pm 0,8) \cdot 10^{15}$	39 ± 9	23 ± 11	36 ± 7	45 ± 15
<chem>Oc1ccc(Oc2ccccc2)cc1</chem>	$(1,1 \pm 0,1) \cdot 10^8$	$(5,3 \pm 0,1) \cdot 10^{12}$	25 ± 4	27 ± 8	22 ± 3	-11 ± 2

Die Ergebnisse dieser Untersuchungen sind in Barzaghi und Herrmann (2002) ausführlich beschrieben.

Literatur

- Atkinson, R., Aschmann, S. M. and Arey J. (1992). *Environ. Sci. Tech.* **26**, 1397.
Barzaghi, P. And Herrmann H. (2002). *Phys. Chem. Chem. Phys.* in Druck
Herrmann, H., Exner, H., Jacobi, W., Raabe, G., Reese, A. and Zellner, R. (1995). *Faraday Discuss.* **100**, 129.
Sehested, K., Løgager, T., Holcman, J. and Nielsen, O.J. (1994). Formation and reactions of the NO₃ radical in aqueous solution, in Proc. of EUROTRAC Symposium '94, 999.